

точность которого убывает с ростом θ_0 . Тем не менее, как следует из рис. 4, это приближение удовлетворительно до $\theta_0 \approx 60^\circ$.

Предположение, лежащее в основе развитой методики, что только квазиводородные нуклоны обусловливают распределение межъядерного каскада, должно приводить к некоторому занижению результатов, поскольку наиболее высоконеэнергетическая часть спектра каскадных нуклонов также может влиять на распространение каскада. Поскольку с уменьшением энергии источника показатель анизотропии квазиводородных нуклонов быстро снижается, а с ростом атомной массы вещества заметно уменьшается их множественность n_{ij} (см. таблицу), роль каскадных нуклонов возрастает и, следовательно, увеличивается погрешность, вызванная таким приближением. Эта тенденция прослеживается на рис. 2.

В целом, по-видимому, можно заключить, что погрешность выражений, как правило, не превышает фактора 2 как для дифференциальных, так и для интегральных характеристик плотности потока нуклонов при любом расстоянии от источника, если выполняются следующие условия: $0.1 \leq E_0 \leq 1$ ГэВ; $\theta_0 \leq 60^\circ$; $A \leq 207$.

Сравнение с экспериментальными данными и результатами расчетов других авторов показывает [13, 16], что разработанная методика с использованием предложенных в настоящей работе параметров неупругого взаимодействия позволяет получить удовлетворительное согласие результатов. Расхождения сравнимы с погрешностями, обусловленными неопределенностью имеющихся данных по интегральным и дифференциальным сечениям взаимодействия нуклонов с ядрами.

СПИСОК ЛИТЕРАТУРЫ

- Барашенков В. С., Соболевский Н. М., Тонеев В. Д.— Атомная энергия, 1972, т. 32, вып. 2, с. 123; Препринт ОИЯИ, Р2-5719. Дубна, 1971.

- Coleman W., Alsmiller R.— Nucl. Sci. Engng, 1968 v. 34, p. 104.
- Мохов Н. В. Препринт ИФВЭ 76-64. Серпухов, 1976; Байшев И. С., Кучинин С. Л., Мохов Н. В. Препринт ИФВЭ 78-2. Серпухов, 1977.
- Alsmiller R. e.a.— Nucl. Sci. Engng, 1969, v. 36, p. 251.]
- Гельфанд Е. К., Серов А. Я., Сычев Б. С.— В кн.: Труды Радиотехнического ин-та, 1974, № 20, с. 136; в кн.: Вопросы дозиметрии и физики защиты от излучений. Вып. 16. М., Атомиздат, 1977, с. 4.
- Алейников В. Е., Крючков В. П. Препринт ОИЯИ, Р16-8177. Дубна, 1974.
- O'Brien K.— Nucl. Instrum. Meth., 1969, v. 72, p. 93.
- Комочков М. М., Сычев Б. С.— Атомная энергия, 1963, т. 15, вып. 4, с. 325; Препринт ОИЯИ, Р2-3345, Дубна, 1967; Сычев Б. С. Препринт ОИЯИ, Р16-3593, Дубна, 1967.
- Казарновский М. В., Парьев Э. Я. Препринт ИЯИ АН СССР, П-0040. М., 1976.
- Казарновский М. В., Сережников С. В. Препринт ИЯИ АН СССР, П-0042. М., 1976.
- Казарновский М. В. и др.— В кн.: Труды пятого Всесоюз. совещания по ускорителям заряженных частиц. Т. 1. М., Наука, 1977, с. 220.
- Казарновский М. В., Сережников С. В. Препринт ИЯИ АН СССР, П-0077. М., 1978.
- Казарновский М. В., Сережников С. В. Препринт ИЯИ АН СССР, П-0100, М., 1978.
- Казарновский М. В., Сережников С. В.— В кн.: Труды второй Всесоюз. науч. конф. по защите от ионизирующих излучений ядерно-технических установок. Тезисы докладов. М., изд. МИФИ, 1978, с. 17.
- Казарновский М. В. и др. Препринт ИЯИ АН СССР, П-0133. М., 1980.
- Казарновский М. В., Парьев Э. Я. Препринт ИЯИ АН СССР, П-0171. М., 1980.
- Смелов В. В. Лекции по теории переноса нейтронов. М., Атомиздат, 1978.
- Ильинов А. С. Препринт ОИЯИ, Б1-4-5478. Дубна, 1970.
- Wick G.— Phys. Rev., 1949, v. 75, p. 738.
- Дэвисон Б. Теория переноса нейтронов. М., Атомиздат, 1960.
- Соболевский Н. М. Препринт ОИЯИ Б1-2-5458. Дубна 1970.

Поступила в Редакцию 28.05.80

УДК 621.039.58'68

Сравнение средств измерения спектра нейтронов и дозы излучения в пучке ИБР-30

ДЕРШЕЛЬ В., ПРОКЕРТ К., ШТРОЙБЕЛЬ Г., ШУРИХТ Ф. (Дрезденский Технический университет, ГДР);
АЛЕЙНИКОВ В. Е., АРХИПОВ В. А., БАМБЛЕВСКИЙ В. П., КАСКАНОВ Г. Я., КОМОЧКОВ М. М., САЛАЦКАЯ М. И.,
ЧЕРЕВАТЕНКО А. П. (ОИЯИ); ГРЕЧКО В. В. (ИЯИ АН СССР); АПОСТОЛ А., ДРАГУ А., НИКОЛАЕ М., ХАШИГАН Д.
(Бухарестский Институт физики и ядерной технологии, СРР); ГАЛАН П., ГРАБОВЦОВА А., НИКОДЕМОВА Д.
(Братиславский Институт гигиены труда и профзаболеваний, ЧССР); СПУРНЫ З., СПУРНЫ Ф., ТУРЕК К. (Институт
радиационной дозиметрии АН ЧССР, ЧССР); ПРОУЗА З., СОЛНИЦКА Г. (Институт биофизики, Карлов университет, ЧССР);
КУБЕЧКОВА И. (Политехнический институт, ЧССР)

Сравнение методов и средств дозиметрии для установления достоверности полученных с их помощью результатов остается актуальной темой

исследований в области радиационной безопасности. Оно позволяет также выбрать наиболее надежные и доступные средства измерения как

Таблица 1

Используемые детекторы, методы и приборы

№ детек-тора, метода	Метод и средство измерения	Излучение	Энергетический диапазон, эВ	Измеряемый диапазон и размерность
1—0 *	Рекомбинационный дозиметр [4]	n γ	Без ограничений $E_\gamma \geq 10^5$	0,3— 10^4 бэр/ч 0,1— 10^3 рад/ч
2—0	Рекомбинационный дозиметр REM-2 [5]	n γ	Без ограничений $E_\gamma \geq 10^5$	10^{-3} — 10^2 бэр/ч 3· 10^{-4} —10 рад/ч
3—0	Дозиметр ИФКи [6,7]	n γ	10^{-2} — $1,5 \cdot 10^7$ $E_\gamma \geq 10^4$	0,02— 100 бэр 0,02— 70 рад
4—0	ТЛД **-700 [8]	γ	$E_\gamma \geq 2 \cdot 10^4$	10^{-2} — 10^{-3} рад
5—0	Дозиметр ИКС-А [9]	γ	$E_\gamma \geq 5 \cdot 10^4$	$0,5$ — $7 \cdot 10^3$ рад
6—0	Ионизационная графитовая камера (КГ), наполненная CO_2 до 21 кгс/см ² [10]	γ	$E_\gamma \geq 10^5$	$2 \cdot 10^{-4}$ — 10^3 рад/ч
7—0	Индий в шаровом полиэтиленовом замедлителе диаметром 25,4 см	n	$\leq 1,5 \cdot 10^7$	$> 0,075$ бэр/ч
8—0	Активационные детекторы [11—14]	n	10^{-2} — $1,5 \cdot 10^7$	$> 10^4$ см ⁻² ·с ⁻¹
9—Г	ТЛД:	γ	$\geq 6 \cdot 10^4$	$\} 5 \cdot 10^{-1}$ — $2 \cdot 10^4$ рад
	а) $\text{CaF}_2 : \text{Mn}$ —PTFE [15] в оболочке из тefлона 12 мм	γ		
	б) $\text{CaF}_2 : \text{Mn}$ —PTEF [15]	γ		
	в) $\text{CaF}_2 : \text{Mn}$ софитты VA-S-220 [16]	γ		
10—Г	Трековые детекторы [17, 18]:	n n	10^{-2} — $1,5 \cdot 10^7$ 10^{-2} — $1,5 \cdot 10^7$	10^9 — $5 \cdot 10^{12}$ см ⁻² 10^7 — $3 \cdot 10^{12}$ см ⁻²
a) слюда с ^{235}U , ^{235}U в Cd, прирU				
б) слюда с ^{235}U , ^{235}U в Cd, ^{232}Th				
11—Г	Активационные детекторы [19, 20, 21]:	n n	10^{-2} — $1,5 \cdot 10^7$ 10^{-2} — $1,5 \cdot 10^7$	$> 10^4$ см ⁻² ·с ⁻¹ $> 10^4$ см ⁻² ·с ⁻¹
	а) Au, Au в Cd, S			
	б) 21 активационный детектор			
12—Ч	Активационные детекторы [22, 23]:	n n n	0—0,4 $> 0,4$ $> 2,5 \cdot 10^6$	$> 10^4$ см ⁻² ·с ⁻¹ $> 10^4$ см ⁻² ·с ⁻¹ $> 10^4$ см ⁻² ·с ⁻¹
	NaF			
	NaF/Cd			
	S			
13—Ч	Активационные детекторы Au+Cd, Mn, Cu, Na, Al, S, In, Zn [24, 25]	n	10^{-2} — $2 \cdot 10^7$	$> 10^5$ см ⁻² ·с ⁻¹
14—Ч	Трековые детекторы [26, 27]:	n n n n	$> 0,4$ $> 4 \cdot 10^6$ $> 2,5 \cdot 10^6$ $> 8 \cdot 10^5$	10^6 — 10^{11} см ⁻² 10^8 — 10^{12} см ⁻² 10^7 — 10^{12} см ⁻² 10^9 — 10^{12} см ⁻²
	а) MELIMEX+(U, Th+U)			
	б) Стекло с ^{232}Th			
	в) Нитрат целлюлозы Kodac LR-415			
	г) Поликарбонат MAKROFOL-E			
15—Ч	ТЛД [28]:	γ γ γ γ	$\} > 10^4$ $\sim 0,025$ $> 10^5$ $\sim 0,025$	10^{-4} — 10^4 рад 10^{-3} — 10^4 рад $1—10^5$ рад $5 \cdot 10^4$ — $5 \cdot 10^{11}$ см ⁻²
	а) CaSO_4			
	LiF			
	Al_2O_3			
16—Ч	б) LiF (порошок)			
	РФЛД *** (стекло)			
	PB33 [29]			
17—Р	Нейтронный спектродозиметр [30]	n	10^{-1} — $1,4 \cdot 10^7$	10^{-2} — 10^2 бэр
18—Р	ТЛД [30]	γ	$> 10^4$	10^{-4} — 10^4 рад

* О, Ч, Г, Р—детекторы из ОИЯИ, Чехословакии, ГДР и Румынии.

** *** ТЛД, РФЛД, термо- и радиофотолюминесцентный детектор соответственно.

в повседневной практике контроля, так и аварийных ситуациях. В ОИЯИ такое сравнение проводят с 1969 г. в поле рассеянного излучения ускорителей [1]. С 1974 г. сравнительные измерения выполняют на импульсном быстром реакторе ИБР-30 [2] в пучке излучения, спектр нейtronов которого близок к типичному спектру реактора и известен в широком диапазоне энергий [3]. В работе участвуют представители различных научных центров стран — участниц ОИЯИ (ГДР, ПНР, СССР, СРР, ЧССР). В настоящей работе приведены основные результаты, полученные сотрудниками

ОИЯИ и некоторых научных центров стран — участниц ОИЯИ.

Методы и средства измерения, условия облучения. В табл. 1 указаны приборы и методики, используемые в экспериментах по сравнению с полученными с их помощью значениями поглощенной и эквивалентной дозы и флюенса нейtronов. Более подробные сведения о возможностях детекторов и методик, способах обработки информации можно получить в приведенной литературе.

Специалисты ГДР определяли активационными детекторами спектр от энергии тепловых нейtronов

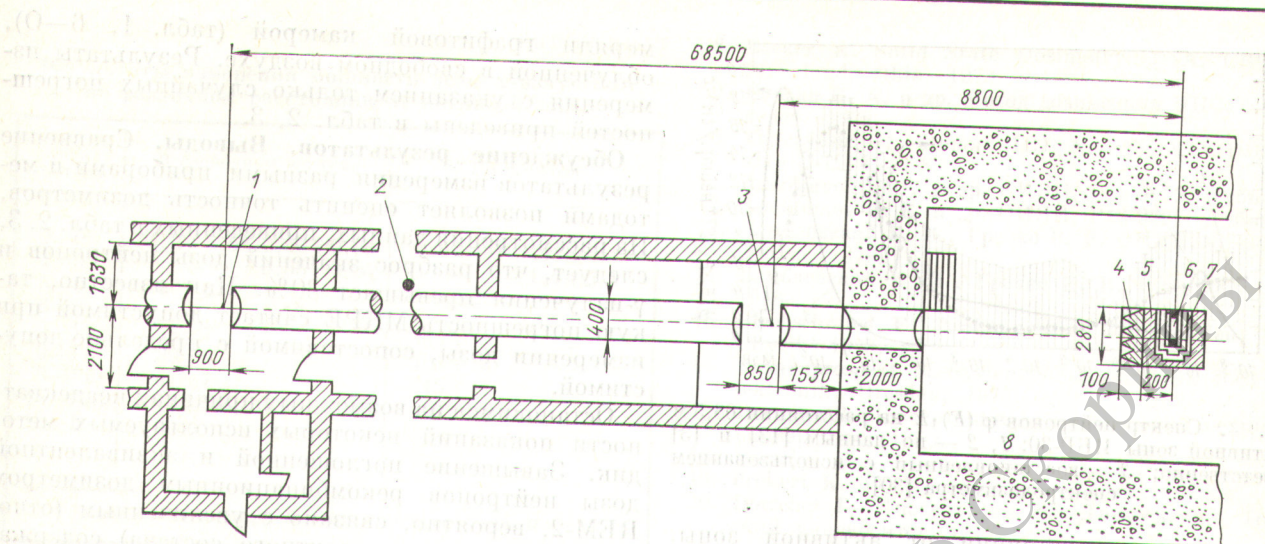


Рис. 1. Геометрия облучения: 1, 3 — места сравнения; 2 — монитор пучка; 4, 5 — гребенчатый и водянной замедлители; 6, 7 — стационарная и подвижная зоны реактора; 8 — зал реактора

до 10^4 эВ при $E > 0,7$ МэВ. Между указанными интервалами его интерполировали [20, 21, 31, 32, 33]. Спектр быстрых нейтронов восстанавливали итерациями [21, 31, 32] по показаниям пороговых детекторов, в качестве нулевого приближения использовали спектр деления. Участники работы из Румынии спектр определяли нейтронным спектродозиметром [30] — трековыми детекторами из нитрата целлюлозы в контакте с радиаторами из бора, лития, углерода и алюминия. Восстанавливали его модельными функциями. Специалисты Чехословакии при определении спектра использовали метод САНД [34], измеряя радиоактивность детекторов (см. табл. 1, 13—Ч) и применяя эффективные сечения реакций. Этот итерационный вычислительный метод основан на определенном первом приближении, которое уточняется в ходе итерационного процесса. Сотрудники ОИЯИ и ИЯИ АН СССР восстанавливали спектр нейтронов энергии $> 10^{-8}$ МэВ статистической регуляризацией по данным, полученным после облучения активационных детекторов, в том числе детекторов тепловых нейтронов в шаровых полиэтиленовых замедлителях [13, 14].

Геометрия облучения в пучке № 6 [3] показана на рис. 1. Проведено три эксперимента в 1974, 1975 и 1977 гг. при мощности реактора 15 и 21 кВт, частоте следования импульсов излучения 5 Гц. Условия облучения контролировали двумя мониторами, один из которых реагировал на изменение мощности реактора, другой — интенсивности излучения в пучке. Однородность поля излучения в пучке на расстоянии 8,8 м определяли трековыми (стекло в контакте с ^{232}Th) [26], активационными (из меди) и термолюминесцентными детекторами [28], а на расстоянии 68,5 м — термо-

люминесцентными детекторами. В пределах погрешностей измерения неоднородность поля не обнаружена. Большинство детекторов облучали в свободном воздухе и на поверхности фантомов. Измерения рекомбинационным дозиметром (РД) выполняли в водном эллиптическом фантоме, погружая камеру в фантом вплотную к его передней стенке, так что измеренная с использованием РД мощность дозы относится к толщине воды $\sim 1,4$ см (см. табл. 1).

Результаты измерения. На рис. 2 и 3 показаны данные определения спектра нейтронов в воздухе

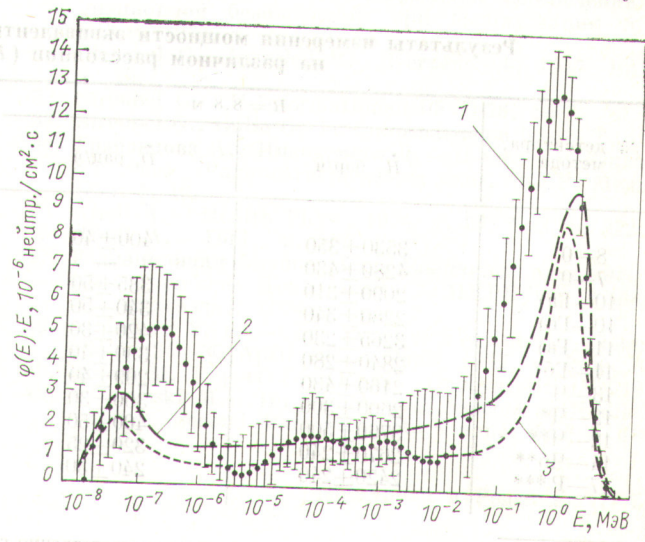


Рис. 2. Спектр нейтронов $\varphi(E) \cdot E$ на расстоянии 8,8 м от активной зоны ИБР-30: 1, 2, 3 — по данным [13], [38] и [24, 25] соответственно; $\varphi(E)$ — дифференциальная энергетическая зависимость плотности потока нейтронов, $\text{см}^{-2} \cdot \text{с}^{-1} \text{МэВ}^{-1}$; E — энергия нейтронов, МэВ

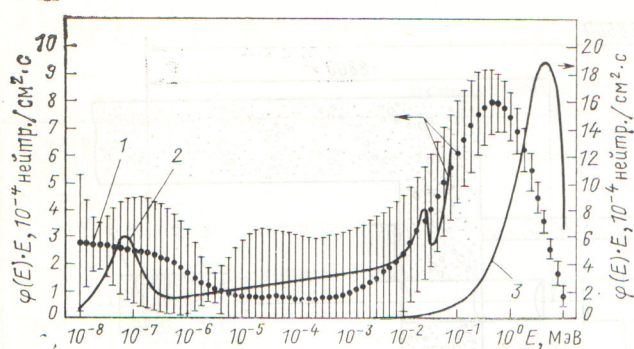


Рис. 3. Спектр нейтронов $\varphi(E) \cdot E$ на расстоянии 68,5 м от активной зоны ИБР-30: 1, 2 — по данным [13] и [3] соответственно; 3 — восстановленный с использованием спектродозиметра [30]

на различном расстоянии от активной зоны. На рис. 3 для сравнения представлен спектр нейтронов, измеренный по времени пролета [3]. Для удобства сопоставления результаты приведены к мощности реактора 15 кВт.

При вычислении поглощенной (D) и эквивалентной (H) дозы нейтронов на основе энергетических спектров переход от флюенса моноэнергетических нейтронов к D и H выполняли с применением формул [35, 36], аппроксимирующих рекомендованные МКРЕ значения [37]. При определении с использованием РД и REM-2 мощности эквивалентной дозы, обусловленной нейtronами, из значения полной мощности вычитали значение мощности дозы γ -излучения в пучке, которое из-

меряли графитовой камерой (табл. 1, б-О), облученной в свободном воздухе. Результаты измерения с указанием только случайных погрешностей приведены в табл. 2, 3.

Обсуждение результатов. Выводы. Сравнение результатов измерения разными приборами и методами позволяет оценить точность дозиметров. Из рассмотрения данных, приведенных в табл. 2, 3, следует, что разброс значений дозы нейтронов и γ -излучения превышает 30%. Как известно, такую погрешность МКРЕ считает допустимой при измерении дозы, сопоставимой с предельно допустимой.

Остановимся на возможных причинах неадекватности показаний некоторых используемых методик. Завышение поглощенной и эквивалентной дозы нейтронов рекомбинационным дозиметром REM-2, вероятно, связано с увеличенным (относительно тканеэквивалентного состава) содержанием водорода в газе, наполняющем камеру [39, 40]. Спектрометрия нейтронов, по-видимому, является наиболее корректным методом установления дозиметрических параметров поля. Участники работы считают целесообразным стандартизировать средства спектрометрии и метод восстановления спектра нейтронов: в поле высокой интенсивности следует принять за основу активационные детекторы, в поле с низкой плотностью потока — спектрометр Боннера. Для выбора наиболее эффективного метода восстановления спектра нейтронов в качестве стандартного целесообразно сравнить метод статистической регуляризации

Таблица 2

Результаты измерения мощности эквивалентной (H) и поглощенной (D) дозы нейтронов на различном расстоянии (R) от активной зоны ИБР-30

№ детектора, метода	$R = 8,8$ м		№ детектора, метода	$R = 68,5$ м	
	H , бэр/ч	D , рад/ч		H , бэр/ч	D , рад/ч
8—0	3530±350	400±40	1—0 4*	(34,2±2,8)	(4,5±0,3)
7—0	4280±430	—	2—0 4*	60±5	6,2±0,5
10—Га)	2090±310	335±50	3—0 4*	13,6±1,1 (14,6±1,2)	—
10—Гб)	2280±340	340±50	8—0 4*	27±3	3,2±0,5
11—Га)	3265±230	420±30	14—Ч а) 5**	29±4	3,7±0,5
11—Гб)	2840±280	390±40	14—Ч б) 5**	26±3	3,3±0,5
13—Ч	2160±430	209±40	17—Р	45	—
12—Ч*	2600±300	300±30	7—0	34±5	—
12—Ч**	3760±500	400±50			
14—Чб**	2670±240	320±25			
17—Р ***	2420±240	240±30			

*. ** Данные получены с использованием соответственно спектров 1 и 3 на рис. 2.

*** Измерения выполнены на поверхности фантома.

4* Данные получены вычислением из показаний рекомбинационных дозиметров (1—0) и (2—0) дозы γ -излучения, измеренной графитовой камерой (б-О).

5* Данные получены с использованием спектра 1 на рис. 3.

В скобках указаны результаты измерения на поверхности фантома. 1 бэр = 0,01 Дж/кг; 1 рад = 0,01 Гр.

Таблица 3

Результаты измерения мощности дозы γ -излучения на различном расстоянии от активной зоны

№ детектора, метода	В свободном воздухе	На фантоме
3—0	54,2±5,5*	0,67±0,08
4—0	—	0,55±0,04
5—0	60±24	—
6—0	—	0,58±0,04
9—Га	48±7	—
9—Гб)	39±6	—
9—Гв)	47±7	—
15—Ча)	43,7±2,4	0,45±0,07
18—Р	34	3

* Первое значение при $R = 8,8$ м, второе — при $R = 68,5$ м.

с другими способами. Необходимо также сравнить результаты измерения спектров других источников нейtronов указанными методами.

В повседневной индивидуальной дозиметрии использование спектрометров вряд ли целесообразно. Приходится применять относительно простые детекторы, показания которых приблизительно пропорциональны эквивалентной дозе. Рассмотрение результатов, полученных дозиметрами такого типа, показывает, что определенная с их использованием доза нейtronов не удовлетворяет рекомендациям МКРЕ по точности измерения. В частности, анализ причин расхождения результатов ИФКн (см. табл. 1, 3—О) с данными, полученными активационными детекторами (см. табл. 1, 8—О), показал, что только 65% дозы нейtronов будет зарегистрировано, если использовать градуировку с помощью ^{239}Pu — Ве-источника. Для достижения большей точности определения дозы нейtronов в поле реактора градуировку индивидуальных дозиметров следует проводить на источниках, спектр нейtronов которых более близок к реакторному.

СПИСОК ЛИТЕРАТУРЫ

1. Алейников В. Е. и др.— In: Proc. Symp. on Neutron Monitoring for Radiation Protection Purposes. V. 2, Vienna, IAEA, 1973, p. 363.
2. Алейников В. Е. и др. ОИЯИ Р16-42122. Дубна, 1979.
3. Голиков В. В. и др. ОИЯИ 3-5736. Дубна, 1971.
4. Зельчинский М. и др. ОИЯИ Р16-5383. Дубна, 1970.
5. Zielczynski M., Zarnowieski K.— In: Neutron Monitoring. Vienna, IAEA, 1966, p. 125.
6. Золин Л. С., Лебедев В. Н., Салацкая М. И.— Атомная энергия, 1962, т. 13, вып. 5, с. 467.
7. Комочков М. М., Салацкая М. И. ОИЯИ, Р16-9780. Дубна, 1976.
8. Becker K. Solid State Dosimetry. USA, CRC Press, Cleveland, Ohio, 1973.
9. Бочвар И. А. и др. Метод дозиметрии ИКС. М., Атомиздат, 1977.
10. Zielczynski M. Report IBJ Nr. 148/XIX/D/B, Warsaw, 1973, p. 8.
11. Алейников В. Е. и др. ОИЯИ, Р16-9123. Дубна, 1975.
12. Алейников В. Е. и др. ОИЯИ, Р16-9621. Дубна, 1976.
13. Бамблевский В. П., Гречко В. В. ОИЯИ, Б2-16-12123. Дубна, 1979.
14. Бамблевский В. П., Гречко В. В. Р16-12069, Дубна, 1978.
15. Blechschmied E. Diplomarbeit, TU Dresden, Sektion Physik, 1973.
16. Firmenprospekt TL-System VA-M-65. VEB RFT Meslektronik, Dresden, 1973.
17. Dorschel B. Диссертация А. Дрезденский Технический университет, 1970.
18. Dorschel B.— Kernenergie, 1971, Bd 14, S. 360.
19. Prokert K. TU-Informationen 05-2-75, 1975.
20. Dorschel B. Диссертация Б. Дрезденский Технический университет, 1977.
21. Streubel G. Диссертация А. Дрезденский Технический университет, 1977.
22. Prouza Z., Hérmanská J. Report P-09-335-053-05/13, BVF, Praha, 1975.
23. Solniska H. e.a. Report P-09-335-053-05/7, Pribram, 1973.
24. Nicodemova D., Hradovcova A., Minarok F. Report SZS-153, 1973, p. 19.
25. Никодемова Д. и др.— В кн.: Сб. докладов Междунар. симпос. стран СЭВ «Новые методы индивидуальной дозиметрии». ЧССР, Градец-Кралове, 1977, с. 218.
26. Spurny F., Turek K.— In: Proc. 9th Inter. Conf. on Solid State Nuclear Track Detectors. Neuerberg, 30.9—6.10 1976.
27. Trousil J., Singer G., Marsal J.— In: Proc. Somp. on Neutron Monitoring for Radiation Protection Purposes. V. 2. Vienna, IAEA, 1973, p. 139.
28. Spurny F., Medioni R., Portal C.— Jaderna Energie, 1975, v. 21, p. 415.
29. Chapuis A. Note CCA-N-1895, 1976.
30. Драгут А., Хашиган Д., Николае М.— В кн.: Сб. докладов научно-техн. конф. «Проблемы обеспечения радиационной безопасности при эксплуатации АЭС». ЧССР, 1975, т. 2, с. 148.
31. Streubel G., Dorschel B.— Kernenergie, 1977, Bd 20, S. 49.
32. Streubel G. TU-Informationen 05-30-76, 1976.
33. Streubel G., Golle G. TU-Informationen 05-42-76, 1976.
34. Грабовцева А., Никодемова Д.— В кн.: Сб. докладов 8-й конф. «Радиогигиенические дни». ЧССР, Медлов, 1977, с. 16.
35. Rindi A.— Health Phys., 1974, v. 27, N 3, p. 322.
36. Rindi A.— Ibid., p. 264.
37. Радиационная безопасность. Величины, единицы, методы и приборы. Доклады 19 и 20 МКРЕ (пер. с англ.). М., Атомиздат, 1974.
38. Aleinikov V. e.a.— In: Proc. of IVth Intern. Congress IRPA (24—30 April 1977). Paris, 1977, v. 3, p. 831.
39. Höfert M. Report DI/HP 187. Geneva, CERN, 1975.
40. Zielczynski M.— In: Biophysical Aspects of Radiation Quality. Second Panel Report. Vienna, IAEA, 1968, p. 125.

Поступила в Редакцию 7.07.80